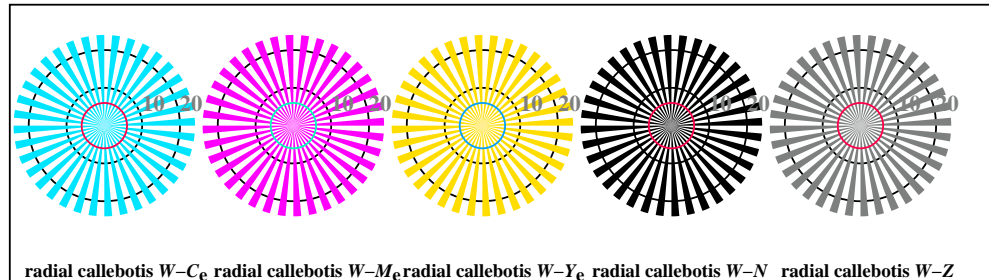


TF921-1, Fig. B4Wde: 16 équidistants étapes  $W-C_e; W-M_e; W-Y_e; W-N$ ;  $rgb/cmy0 \rightarrow rgb_{de} setrgbcolor$

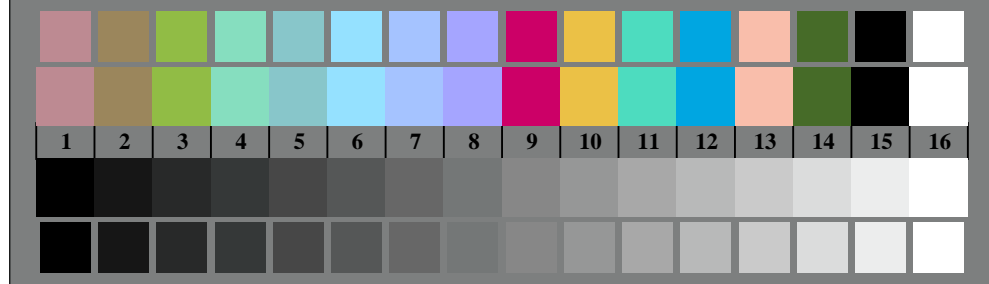
+-.: Q	C	O	C	O	pqr	O	O	O	uvw	O	O	O	O
xyz;	Q	O	O	O	lmno	Q	O	O	lmno	Q	O	O	O
tuvw	O	O	O	O	hijk	O	O	O	hijk	O	O	O	O
pqrs	O	O	O	O	defg	O	O	O	+-.:	O	O	O	O
lmno	O	O	O	O	!abc	O	O	O	xyz;	O	O	O	O
hijk	C	O	O	O	+-.:	O	O	O	tuvw	O	O	O	O
defg	O	O	O	O	xyz;	O	O	O	defg	O	O	O	O
!abc	O	O	O	O	lmno	O	O	O	!abc	O	O	O	O
10	N	C_e	M_e	Y_e	Z	6	N	C_e	M_e	Y_e	Z	4	N C_e M_e Y_e Z

TF921-3, Fig. B5Wde: code et Landolt anneauN;  $C_e; M_e; Y_e; Z$ ; PS operator  $rgb \rightarrow rgb_{de} setrgbcolor$



radial calibotis  $W-C_e$  radial calibotis  $W-M_e$  radial calibotis  $W-Y_e$  radial calibotis  $W-N$  radial calibotis  $W-Z$

TF920-5, Fig. B2Wde: radial calibotis  $W-C_e; W-M_e; W-Y_e; W-N$ ; PS operator  $rgb \rightarrow rgb_{de} setrgbcolor$



TF920-7, Fig. B3Wde: 14 CIE test couleurs et 2 + 16 gris étapes (sf);  $rgb/cmy0 \rightarrow rgb_{de} setrgbcolor$

0-1	anneaux Landolt $W-C_e$	Code	anneaux Landolt $W-M_e$	Code
7-8				
E-F				
2-0				
8-6				
F-D				

TF921-5, Fig. B6Wde: anneaux Landolt  $W-C_e; W-M_e$ ; PS operator  $rgb \rightarrow rgb_{de} setrgbcolor$

0-1	anneaux Landolt $W-Y_e$	Code	anneaux Landolt $W-N$	Code
7-8				
E-F				
2-0				
8-6				
F-D				

TF921-7, Fig. B7Wde: anneaux Landolt  $W-Y_e; W-N$ ; PS operator  $rgb \rightarrow rgb_{de} setrgbcolor$